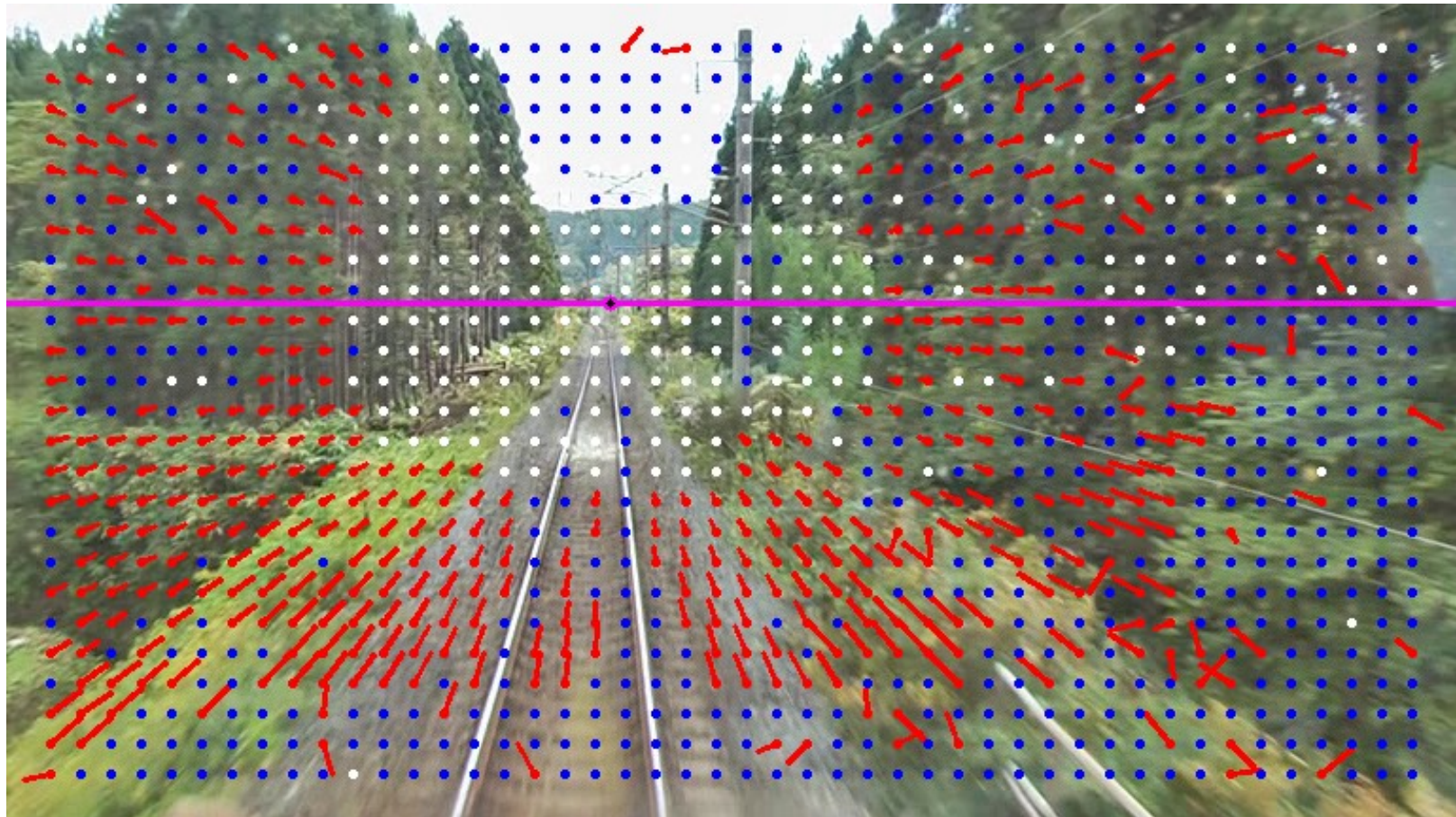
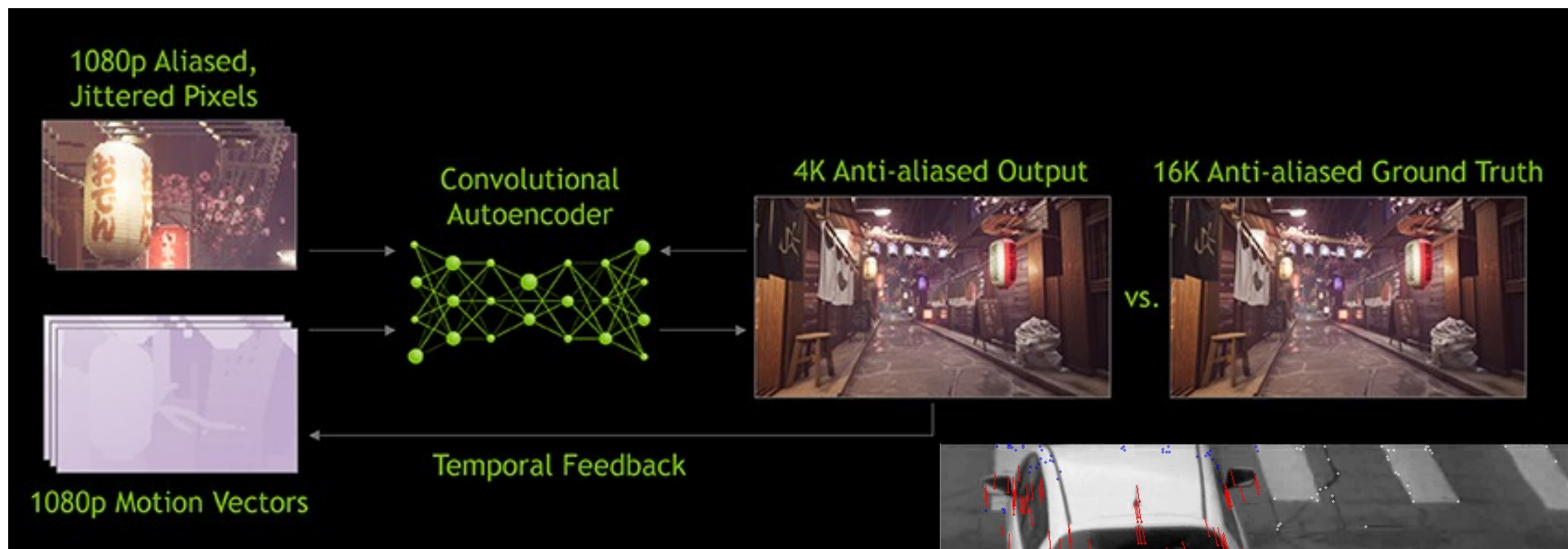


# Visão Computacional

Prof. Bogdan Tomoyuki Nassu



# Desafio: detecção de movimento



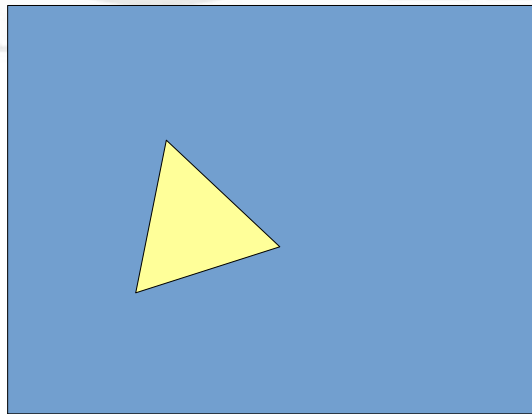
<https://www.youtube.com/watch?v=3laKJuZN55k>

[wccfttech.com/neural-supersampling-is-a-hardware-agnostic-dlss-alternative-by-facebook/](https://wccfttech.com/neural-supersampling-is-a-hardware-agnostic-dlss-alternative-by-facebook/)

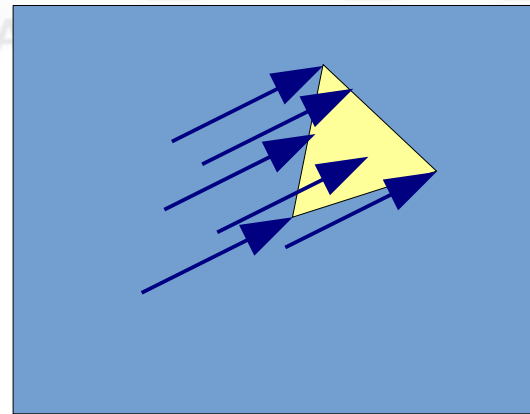
[www.nvidia.com/en-us/geforce/news/nvidia-dlss-2-0-a-big-leap-in-ai-rendering/](https://www.nvidia.com/en-us/geforce/news/nvidia-dlss-2-0-a-big-leap-in-ai-rendering/)

# Fluxo ótico

- Fluxo ótico (*optical flow*).
  - Padrão de movimento de objetos, superfícies, cenas, etc.
    - = descrição do movimento de cada pixel entre 2 frames de vídeo.
    - Vetores de movimento.
  - Origem na biologia: modelagem de um componente da visão de animais, ligado à percepção de movimentos, forma e distância de objetos.



Frame  $t$



Frame  $t+1$ . A setas são os vetores de movimento para 6 pixels.

# Aplicações?



# Aplicações

- Estabilização de câmera.
- Super-resolução de vídeos.
- Structure from motion*.
- Interpolação temporal de vídeo para aumento de taxa de quadros.
- Rastreamento e segmentação de objetos.
- Compressão.
- (Mostrar exemplo do FOE).



# Como fazer?

- Suponha um único pixel de um frame anterior. Como descobrir onde este pixel está no frame atual?
  - Nota: rigorosamente, os pixels não “se movem”, o que acontece é que movimentos da câmera ou do objeto fazem com que a luz refletida sobre um mesmo ponto do mundo real esteja projetada em uma coordenada diferente da imagem! Mas por simplicidade, vamos falar que os pixels “se movem”.

# Pressupostos

- Pressupostos:

- Constância do brilho: um pixel permanece com (quase) a mesma intensidade/cor entre os 2 frames.
- Coerência espacial: pontos vizinhos em um frame permanecem próximos no frame seguinte.
  - = a região ao redor de um pixel muda lentamente no tempo.

• Voltando à pergunta: como localizar um pixel do frame anterior no frame atual?

# Como fazer?

- Como localizar um pixel do frame anterior no frame atual?
- Podemos tomar uma janela (um *patch*) ao redor do pixel no frame anterior, e procurar por uma janela similar no frame atual?
  - (ou vice-versa)
  - Precisamos medir a similaridade entre uma região de um frame e regiões de outro frame.
    - Como?



# Block matching

- Precisamos medir a similaridade entre uma região de um frame e regiões de outro frame.
  - Como?
    - R: *template/block matching*.
      - O “template” é uma região ao redor do pixel em um frame.
      - Procuramos por uma região parecida em outro frame.
        - = “De onde veio este pixel?”

# Fluxo óptico denso

- *Fluxo óptico denso* - ideia geral:

- Para cada pixel  $p=(x_p, y_p)$  do frame do tempo  $t$ :
  - Seleciona uma janela de largura  $2w+1$  com centro em  $p$ .
  - Busca regiões similares à janela no frame do tempo  $t-1$ , computando uma pontuação para cada alinhamento possível.
    - A posição  $(x_{t-1}, y_{t-1})$  do alinhamento com maior pontuação é a posição de  $p$  no tempo  $t-1$ .
  - O vetor de movimento do pixel  $p$  é obtido por  $[x_t - x_{t-1}, y_t - y_{t-1}]$ .

- Como comparar duas janelas / patches?

# Fluxo ótico denso

- *Fluxo ótico denso* - ideia geral:

- Para cada pixel  $p=(x_p, y_p)$  do frame do tempo  $t$ :
  - Seleciona uma janela de largura  $2w+1$  com centro em  $p$ .
  - Busca regiões similares à janela no frame do tempo  $t-1$ , computando uma pontuação para cada alinhamento possível.
    - A posição  $(x_{t-1}, y_{t-1})$  do alinhamento com maior pontuação é a posição de  $p$  no tempo  $t-1$ .
  - O vetor de movimento do pixel  $p$  é obtido por  $[x_t - x_{t-1}, y_t - y_{t-1}]$ .

- Como comparar duas janelas / patches?

- Diferença quadrática.
- Coeficiente de correlação.
- etc.

# Fluxo óptico denso: refinando

- Problema: custo computacional **extremamente** alto.
  - Formas simples de melhorar?



# Fluxo ótico denso: refinando

- Problema: custo computacional **extremamente** alto.
  - Formas simples de melhorar:
    - Imagens em escala de cinza.
    - Em vez de procurar todos os pixels do frame  $t$  no frame  $t-1$ , fazer amostragem em espaços regulares.
    - Em vez de procurar por um pixel  $p=(x_t, y_t)$  em todo o frame  $t-1$ , procurar apenas em uma região próxima a  $(x_t, y_t)$ .
- 3 parâmetros:
  - Largura da janela ao redor de cada pixel  $(2w+1)$ .
    - Nos exemplos: janela quadrada com  $w=7$ .
  - Espaçamento entre os pontos que serão procurados a cada frame.
    - Nos exemplos: 16 pixels.
  - Tamanho da vizinhança onde cada janela será procurada.
    - Nos exemplos:  $x=[x_0-16, x_0+16]$  e  $y=[y_0-16, y_0+16]$ .

# Exemplo

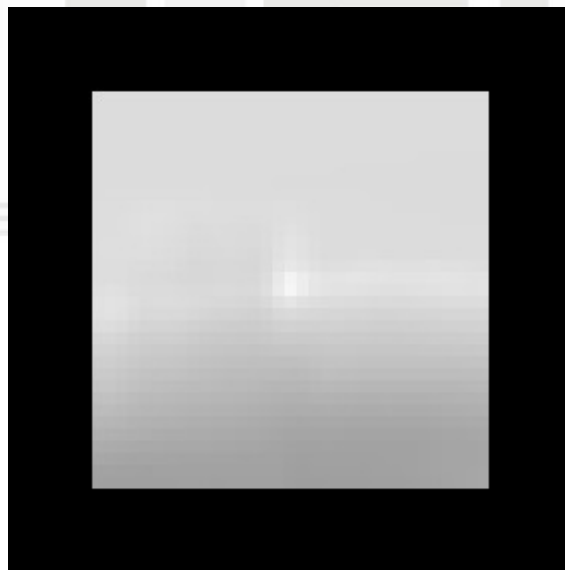


Região no frame  $t$

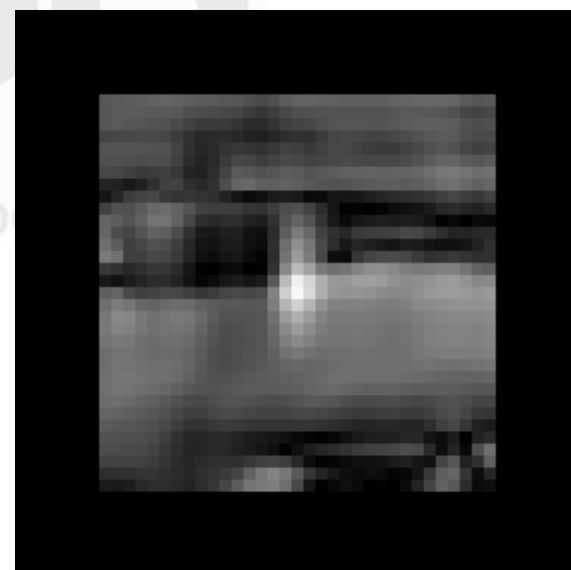
Janela no frame  $t-1$



1 - Diferença quadrática



Coeficiente de correlação





# Exemplo

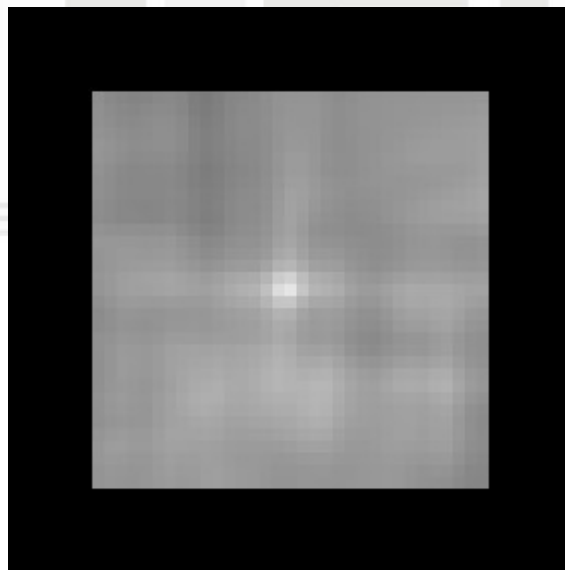


Região no frame  $t$

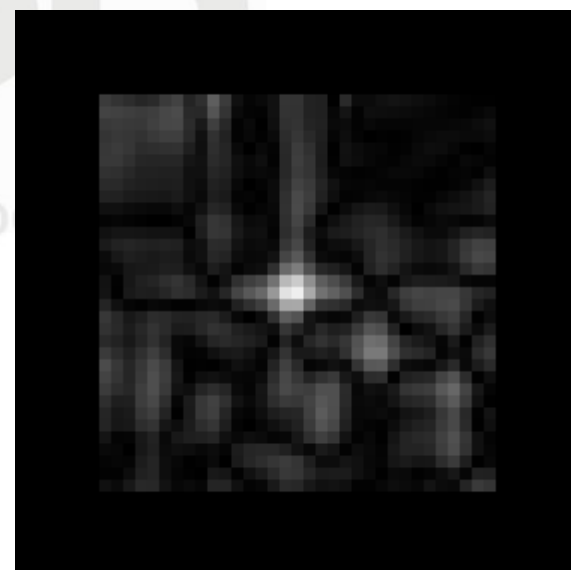
Janela no frame  $t-1$



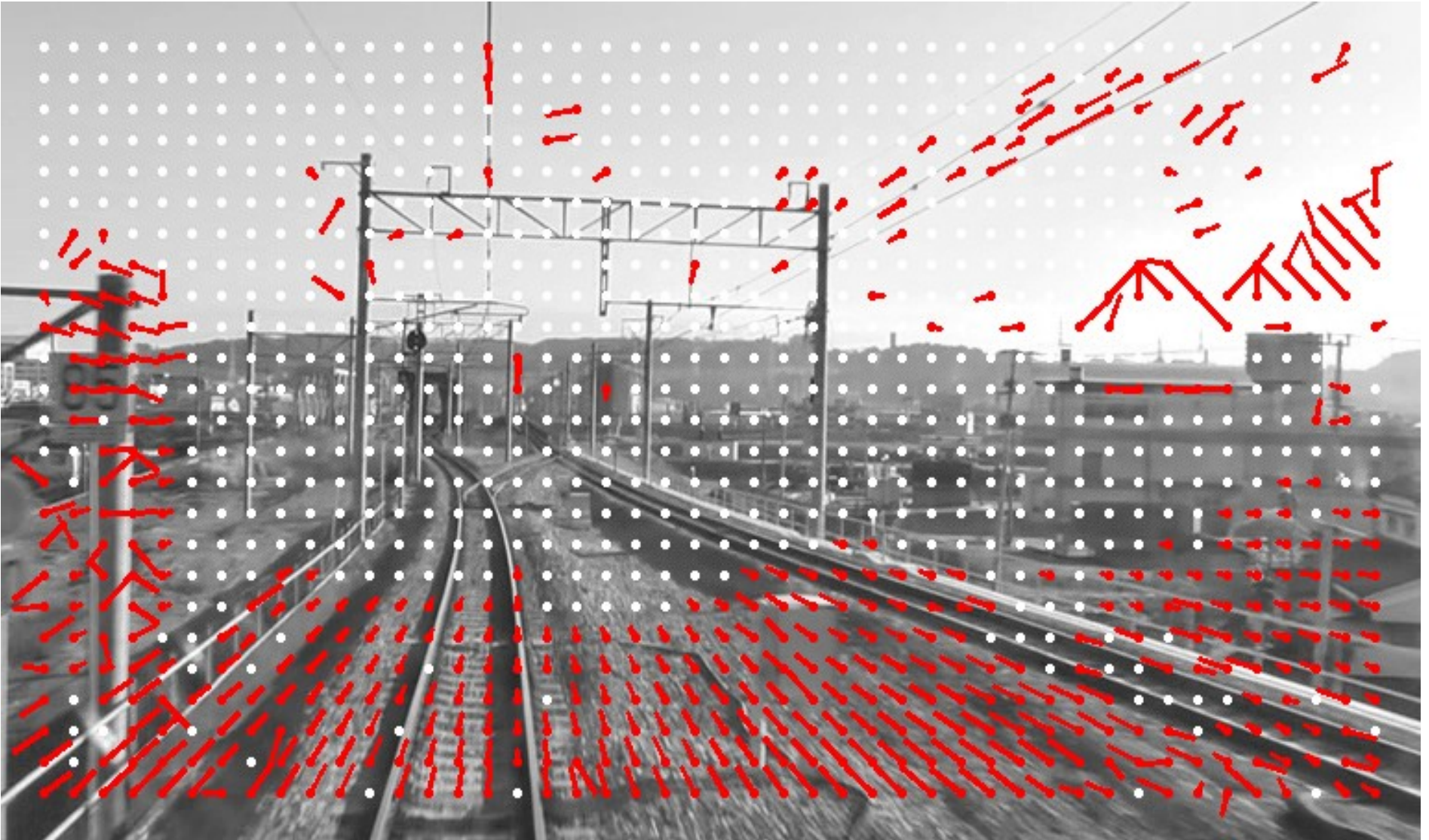
1 - Diferença quadrática



Coeficiente de correlação



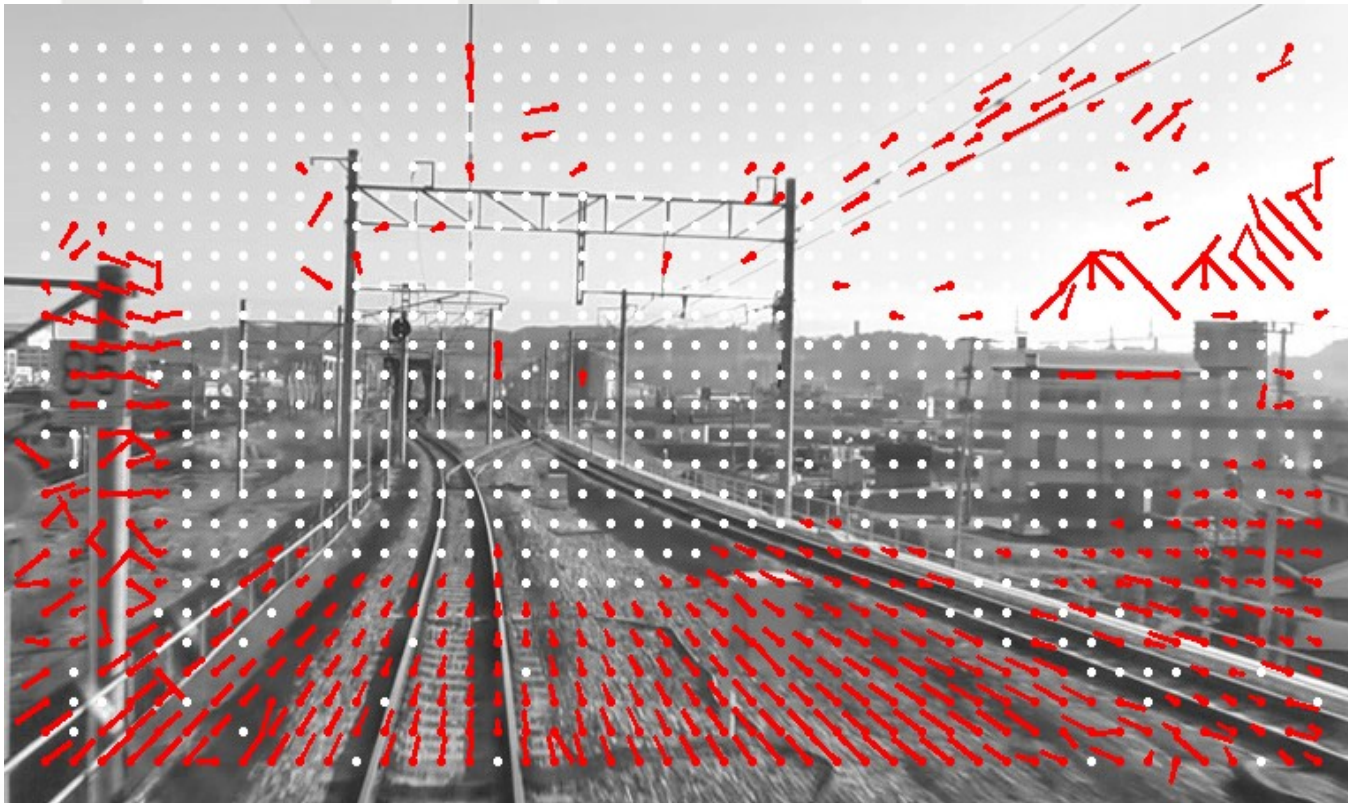
# Exemplo



# Analizando os resultados

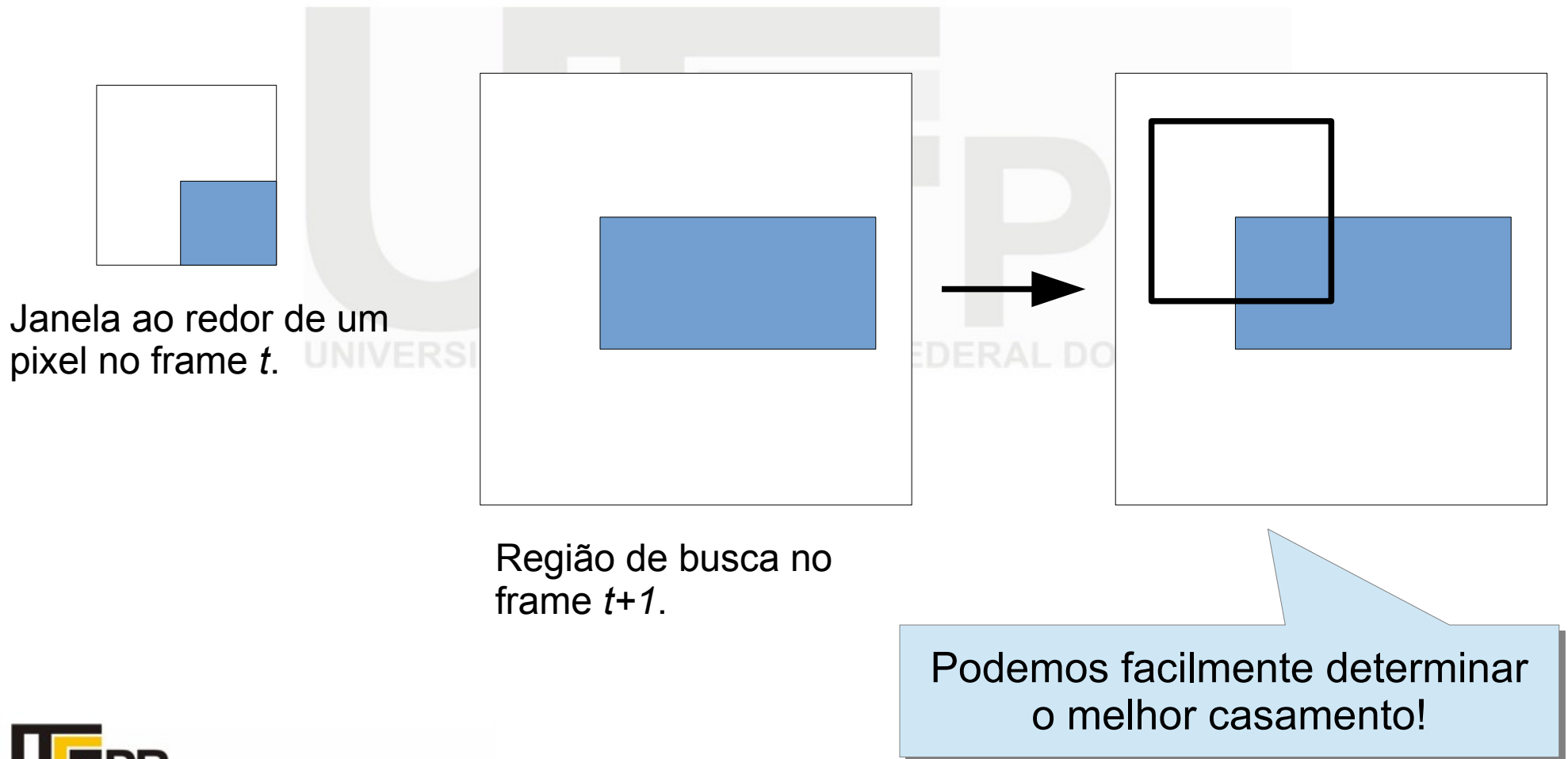
- Observemos:

- Como o comprimento dos vetores varia de acordo com a distância?
- Por que existem “pontos parados”?
- Por que alguns vetores parecem tão errados???



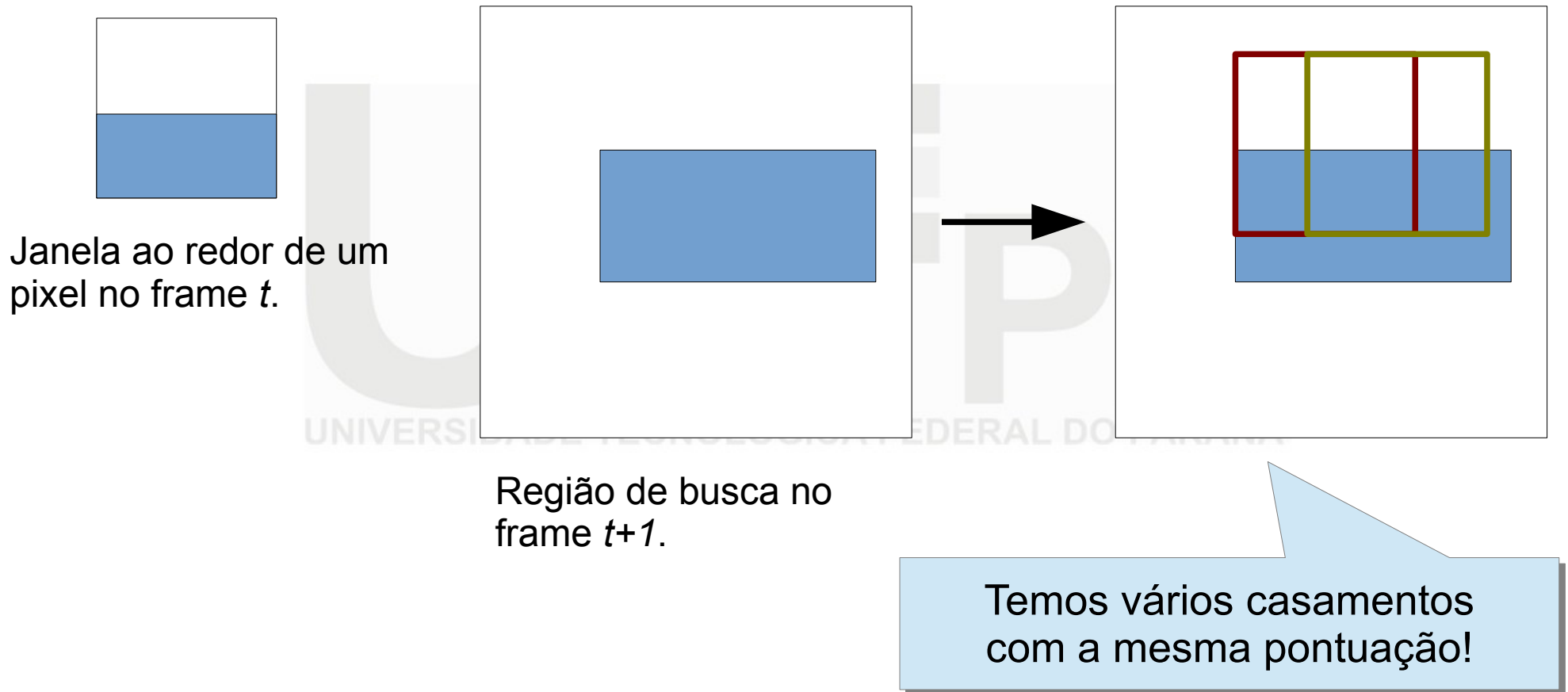
# O problema da abertura

- O problema mais fundamental que temos quando analisamos o fluxo ótico é conhecido como “problema da abertura”.

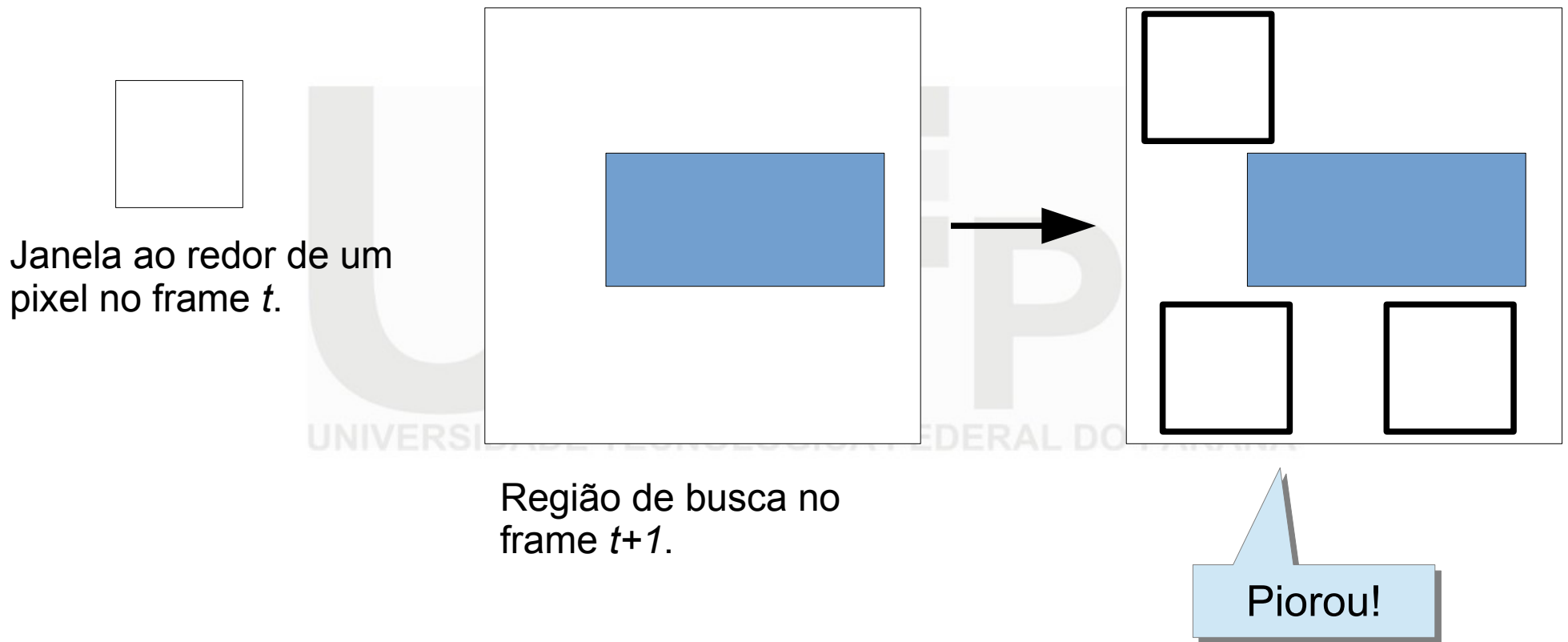




# O problema da abertura



# O problema da abertura





# O problema da abertura

- O problema da abertura ocorre quando a região que estamos buscando é pouco distintiva, ou pode ser facilmente confundida com outras regiões.
  - Como resolver?

# O problema da abertura

- O problema da abertura ocorre quando a região que estamos buscando é pouco distintiva, ou pode ser facilmente confundida com outras regiões.
  - Buscar uma região maior da imagem resolveria o problema?

# O problema da abertura

- O problema da abertura ocorre quando a região que estamos buscando é pouco distintiva, ou pode ser facilmente confundida com outras regiões.
  - Buscar uma região maior da imagem resolveria o problema?
    - O casamento pode ficar muito difícil se a janela for grande demais, a não ser que uma região grande mude muito pouco.
    - Como determinar o tamanho da janela?

# Fluxo ótico denso: mais desafios

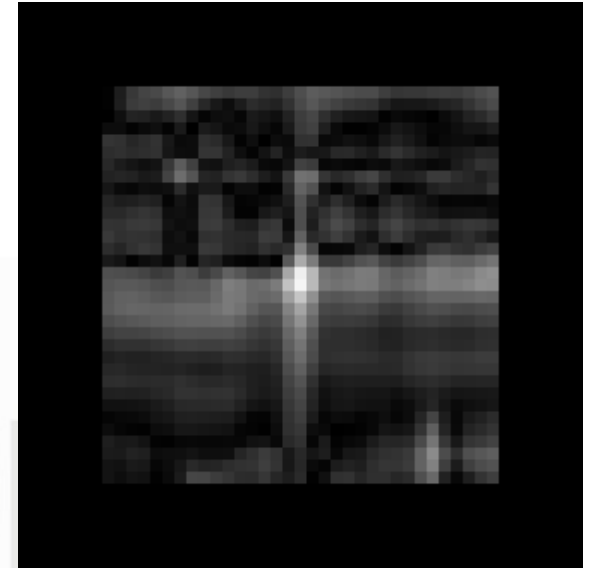
- Desafios para fluxo ótico denso:
  - Movimentos que não fazem parte da cena (ex: televisão ligada).
  - Movimentos falsos, criados por brilhos e reflexos.
    - Ex: esfera brilhante parada e uma luz móvel.
  - Movimentos de objetos não-rígidos (animais, tecidos, líquidos, etc.).
- Vários algoritmos já foram propostos para o problema do fluxo ótico.
  - Outras formas de se comparar regiões.
  - Múltiplos candidatos a vetor para um mesmo ponto.
    - Pode ser útil para tratar incertezas ou mesmo transparências!
  - Precisão sub-pixel.
  - Pirâmides de imagens, para análise multi-escala.
- Alternativa?

# Qual a diferença?

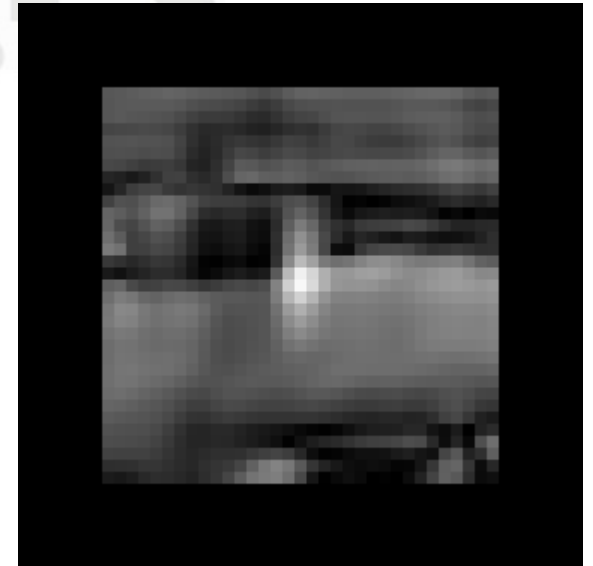
- Qual a diferença entre as regiões com casamentos bons e ruins?



# Bons casamentos...

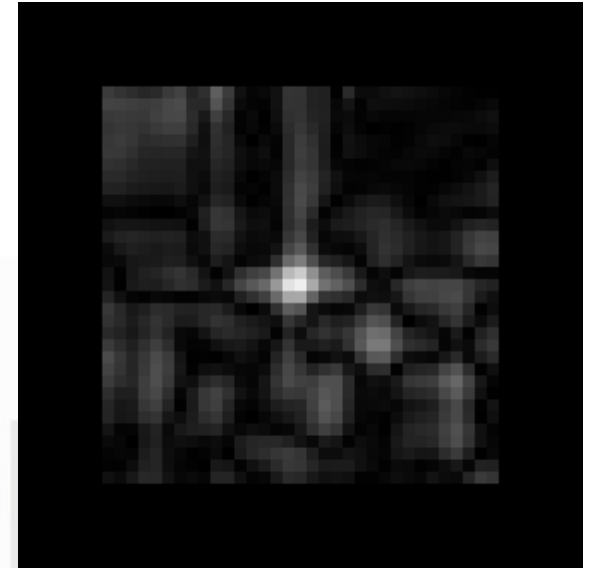
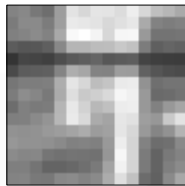


1. Região no frame  $t$ .
2. Janela no frame  $t-1$ .
3. Pontuações.

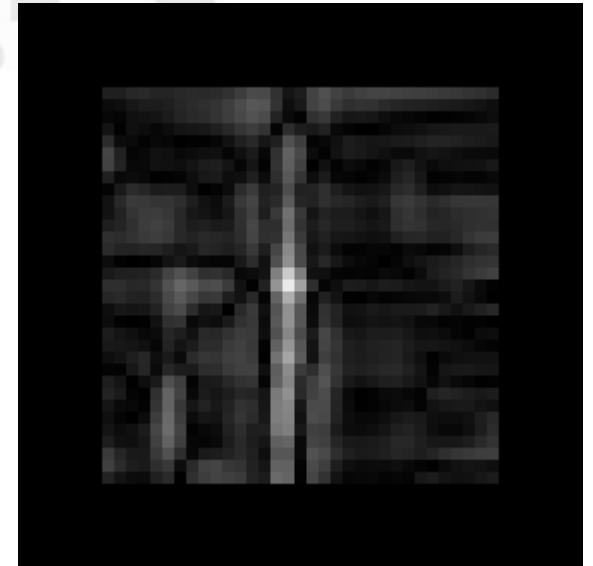
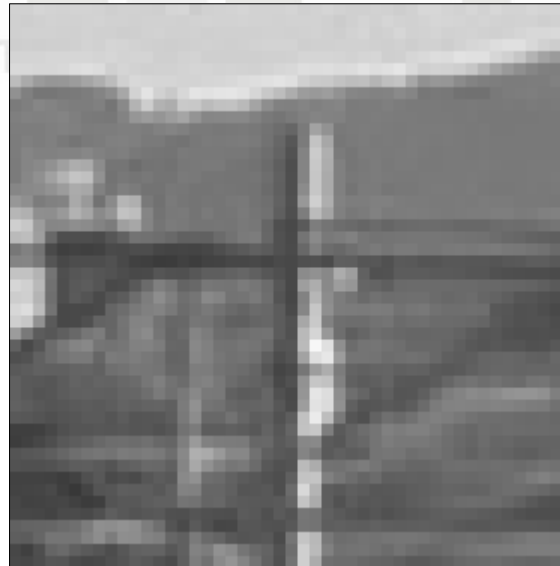




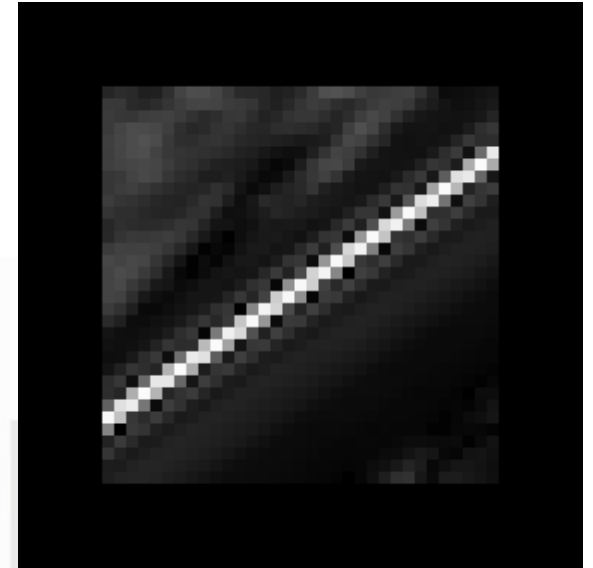
# Bons casamentos...



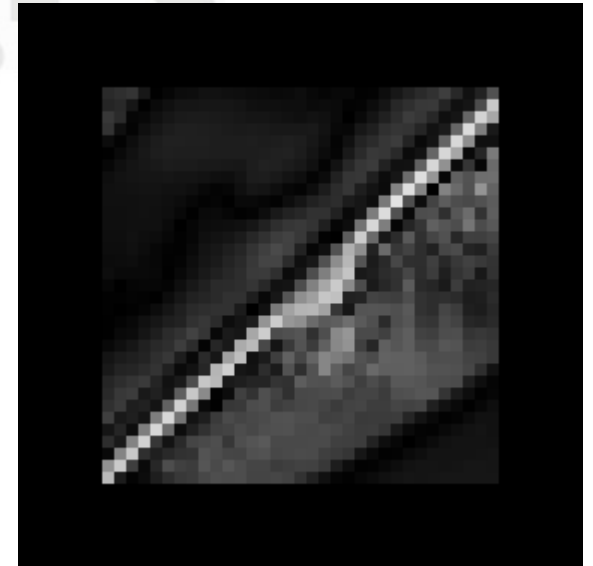
1. Região no frame  $t$ .
2. Janela no frame  $t-1$ .
3. Pontuações.



# Maus casamentos...

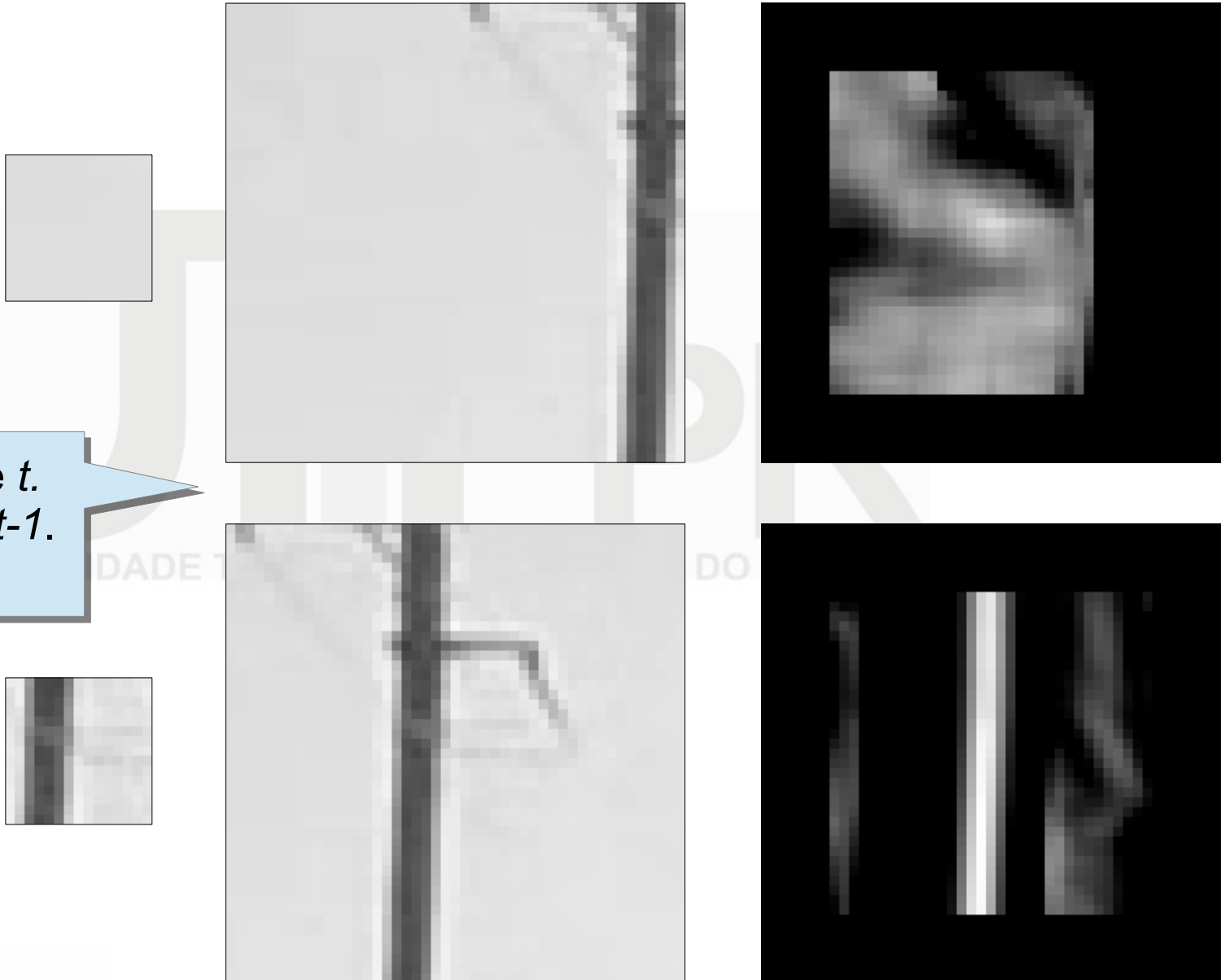


1. Região no frame  $t$ .
2. Janela no frame  $t-1$ .
3. Pontuações.



# Maus casamentos...

1. Região no frame  $t$ .
2. Janela no frame  $t-1$ .
3. Pontuações.



# Qual a diferença?

- Qual a diferença entre as regiões com casamentos bons e ruins?



# Qual a diferença?

- Qual a diferença entre as regiões com casamentos bons e ruins?
  - Regiões ruins têm textura pobre ou muito simples.
    - Ex: um traço em uma direção.
  - Regiões com bons casamentos possuem “cantos”.
- Como definir um “canto”?

# Qual a diferença?

- Qual a diferença entre as regiões com casamentos bons e ruins?
  - Regiões ruins têm textura pobre ou muito simples.
    - Ex: um traço em uma direção.
  - Regiões com bons casamentos possuem “cantos”.
- Como definir um “canto”?
  - R: um canto é um encontro entre duas bordas!
- E o que caracteriza uma borda?



# Qual a diferença?

- Qual a diferença entre as regiões com casamentos bons e ruins?
  - Regiões ruins têm textura pobre ou muito simples.
    - Ex: um traço em uma direção.
  - Regiões com bons casamentos possuem “cantos”.
- Como definir um “canto”?
  - R: um canto é um encontro entre duas bordas!
- E o que caracteriza uma borda?
  - A existência de um gradiente forte.
- → o que caracteriza um canto (*corner*) é a existência de gradientes fortes em pelo menos duas direções.

# Mudando o nosso jeito de pensar

- Suponha que já temos um algoritmo que detecta cantos. Como isso poderia ser explorado para computar o fluxo ótico?

UNIVERSIDADE TECNOLÓGICA FEDERAL DO PARANÁ

# Mudando o nosso jeito de pensar

- Suponha que já temos um algoritmo que detecta cantos. Como isso poderia ser explorado para computar o fluxo ótico?
  - Toma a vizinhança de cada canto detectado no frame  $t$ , e procura no frame  $t-1$  pela região mais similar?
    - (ou vice-versa)
  - Toma a vizinhança de cada canto detectado no frame  $t$ , e procura entre os cantos detectados no frame  $t-1$  o que tem o entorno mais similar?
    - (ou vice-versa)
  - *Fluxo ótico esperso*: acompanha somente pontos promissores.
- Já sabemos como computar a similaridade entre duas regiões.
  - Precisamos de um algoritmo para detectar cantos!

# Auto-similaridade

- A primeira ideia é detectar cantos com base na “auto-similaridade”.
  - Detector de Moravec (1980).
  - Conceito similar ao do fluxo ótico denso, mas aplicado ao próprio frame:
    - ???

UNIVERSIDADE TECNOLÓGICA FEDERAL DO PARANÁ

# Auto-similaridade

- A primeira ideia é detectar cantos com base na “auto-similaridade”.
  - Detector de Moravec (1980).
  - Conceito similar ao do fluxo ótico denso, mas aplicado ao próprio frame:
    - Para cada pixel da imagem, toma uma vizinhança e a “desliza” sobre a própria imagem, em uma região ao redor do pixel.
      - Janela e variações de posição pequenas!
    - Para cada alinhamento, computa uma pontuação.
      - Diferença quadrática.
  - Região homogênea: ???
  - Borda: ???
  - Canto: ???

# Auto-similaridade

- A primeira ideia é detectar cantos com base na “auto-similaridade”.
  - Detector de Moravec (1980).
  - Conceito similar ao do fluxo ótico denso, mas aplicado ao próprio frame:
    - Para cada pixel da imagem, toma uma vizinhança e a “desliza” sobre a própria imagem, em uma região ao redor do pixel.
      - Janela e variações de posição pequenas!
    - Para cada alinhamento, computa uma pontuação.
      - Diferença quadrática.
  - Região homogênea: pontuações boas para muito alinhamentos.
  - Borda: várias pontuações boas quando a região estiver sobre a borda.
  - Canto: pequenas mudanças no alinhamento reduzem a pontuação.
- Problemas...
  - Alto custo computacional.
  - Deslocamentos discretos.
  - Ruídos nas respostas.

# Harris corners

- O detector de cantos de Harris (“Harris corners”), de 1988, é um dos trabalhos fundamentais sobre a detecção de cantos.
- O algoritmo parte do conceito de auto-similaridade e, através de manipulações algébricas, transforma a equação da diferença quadrática para um deslocamento.



# Derivadas de 2ª ordem

- O detector de Harris é baseado nas derivadas de segunda ordem  $D_{xx}$ ,  $D_{xy}$  e  $D_{yy}$ .
- Para computar as derivadas de segunda ordem, podemos calcular os “gradientes dos gradientes” (i.e. usar um filtro como Sobel duas vezes), ou montar kernels apropriados.
  - Exemplo: kernels 3x3.

$D_{xx}$ :

|   |    |   |
|---|----|---|
| 1 | -2 | 1 |
| 2 | -4 | 2 |
| 1 | -2 | 1 |

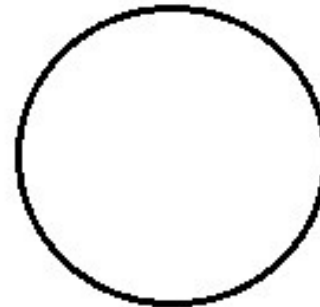
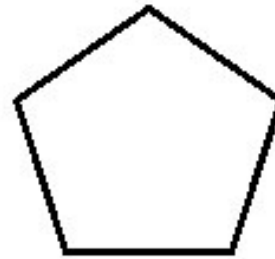
$D_{yy}$ :

|    |    |    |
|----|----|----|
| 1  | 2  | 1  |
| -2 | -4 | -2 |
| 1  | 2  | 1  |

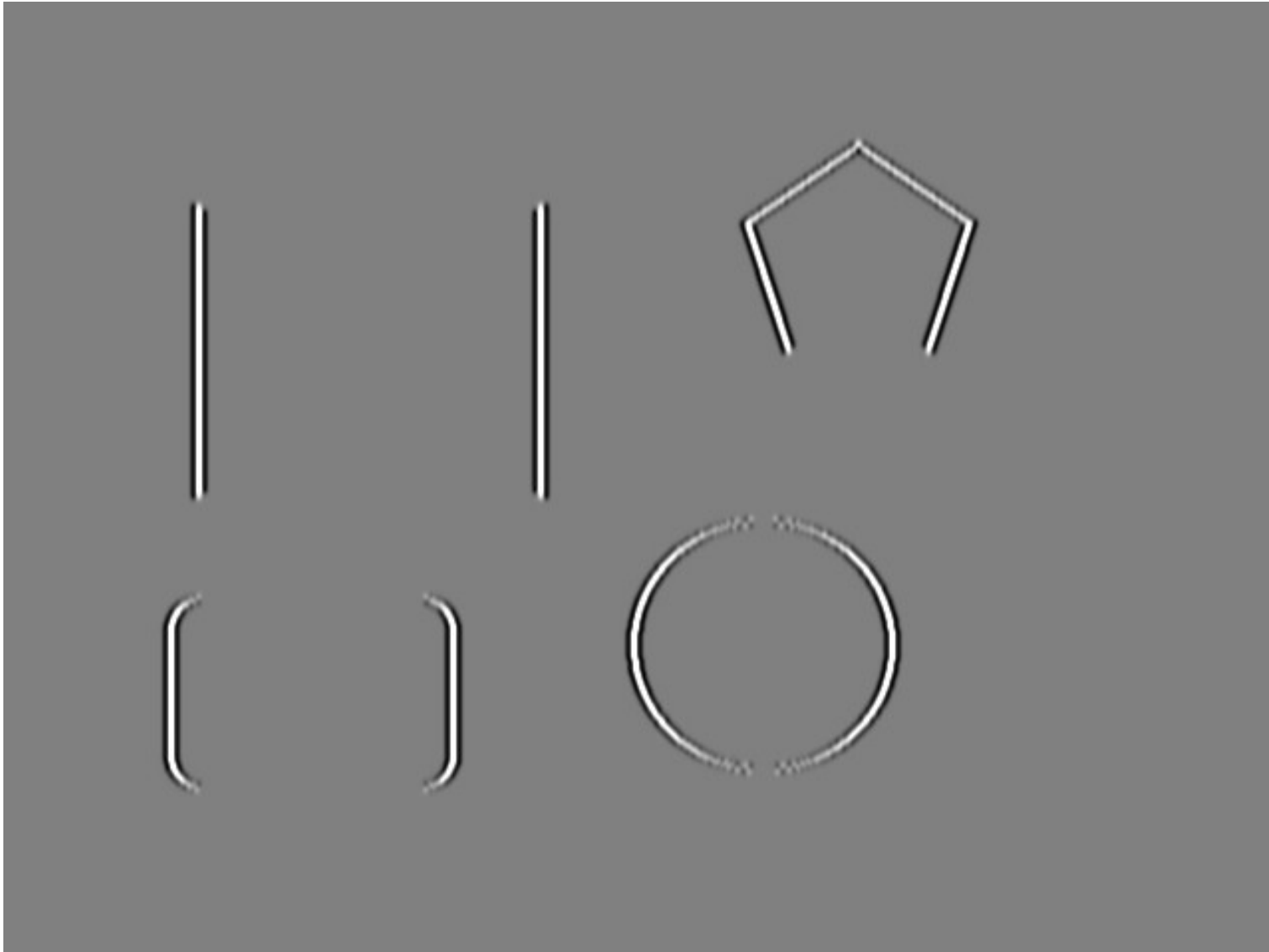
$D_{xy}$ :

|    |   |    |
|----|---|----|
| 1  | 0 | -1 |
| 0  | 0 | 0  |
| -1 | 0 | 1  |

# Exemplo: imagem original



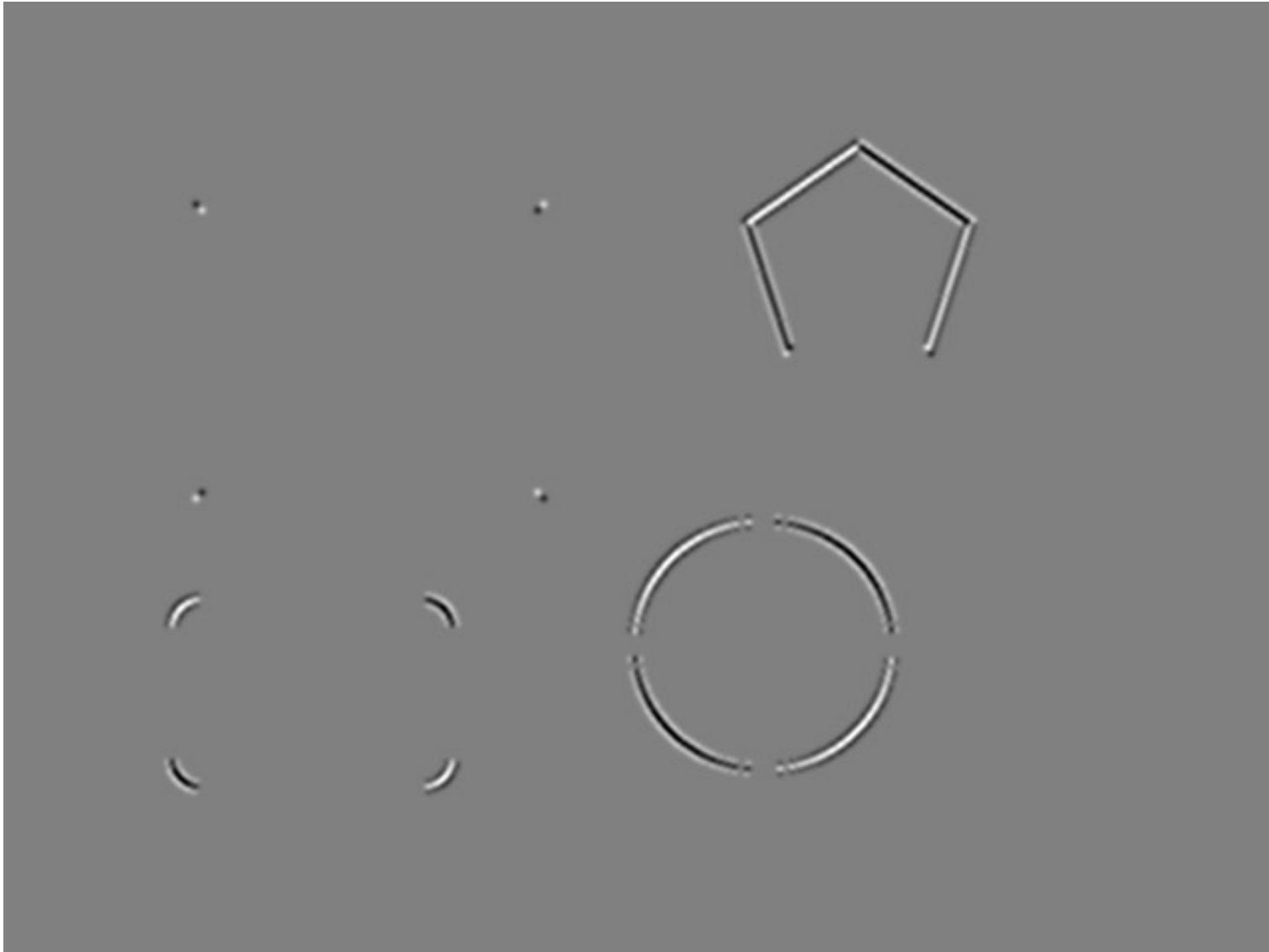
# Exemplo: Dxx



# Exemplo: Dyy



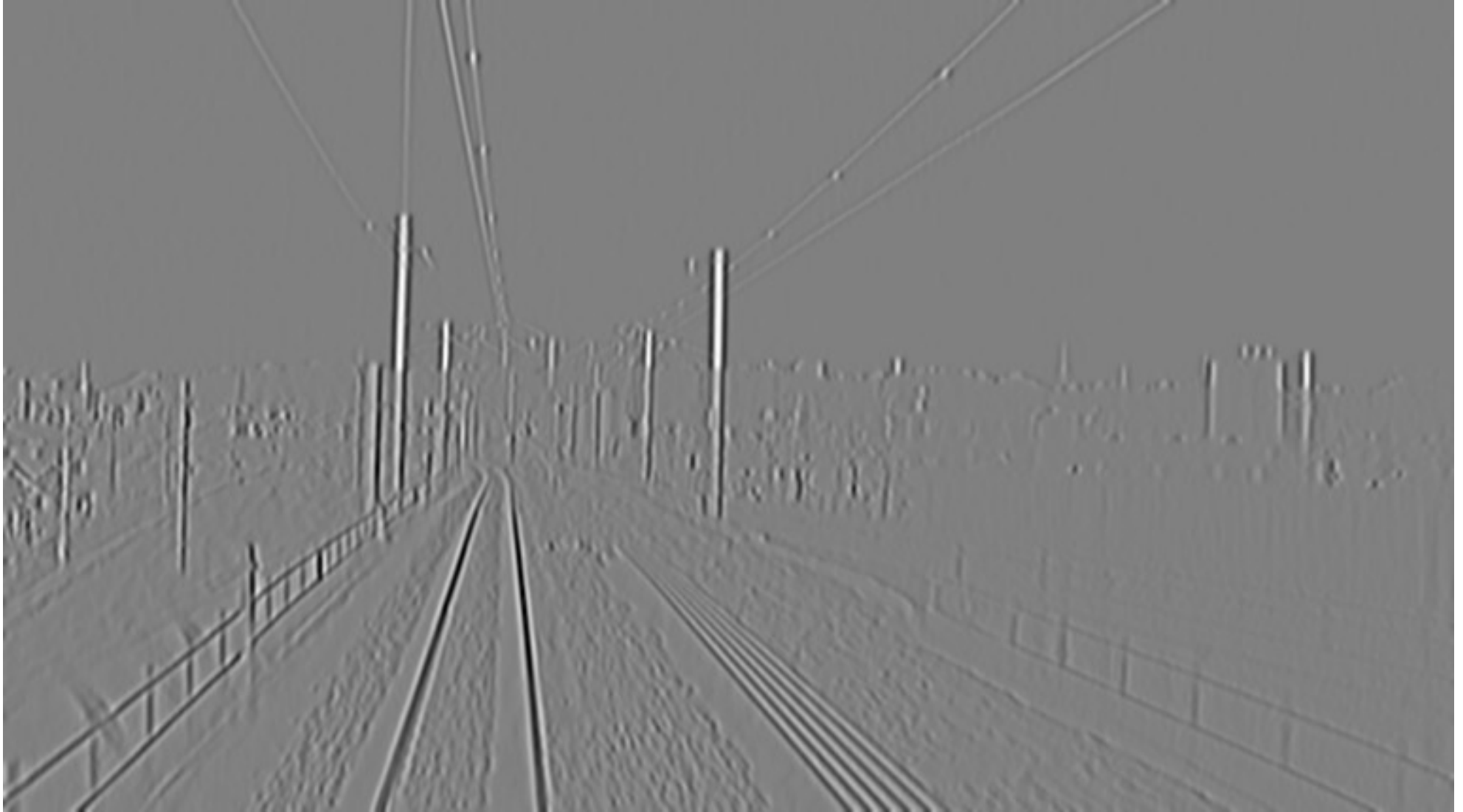
# Exemplo: Dxy



# Exemplo: imagem original

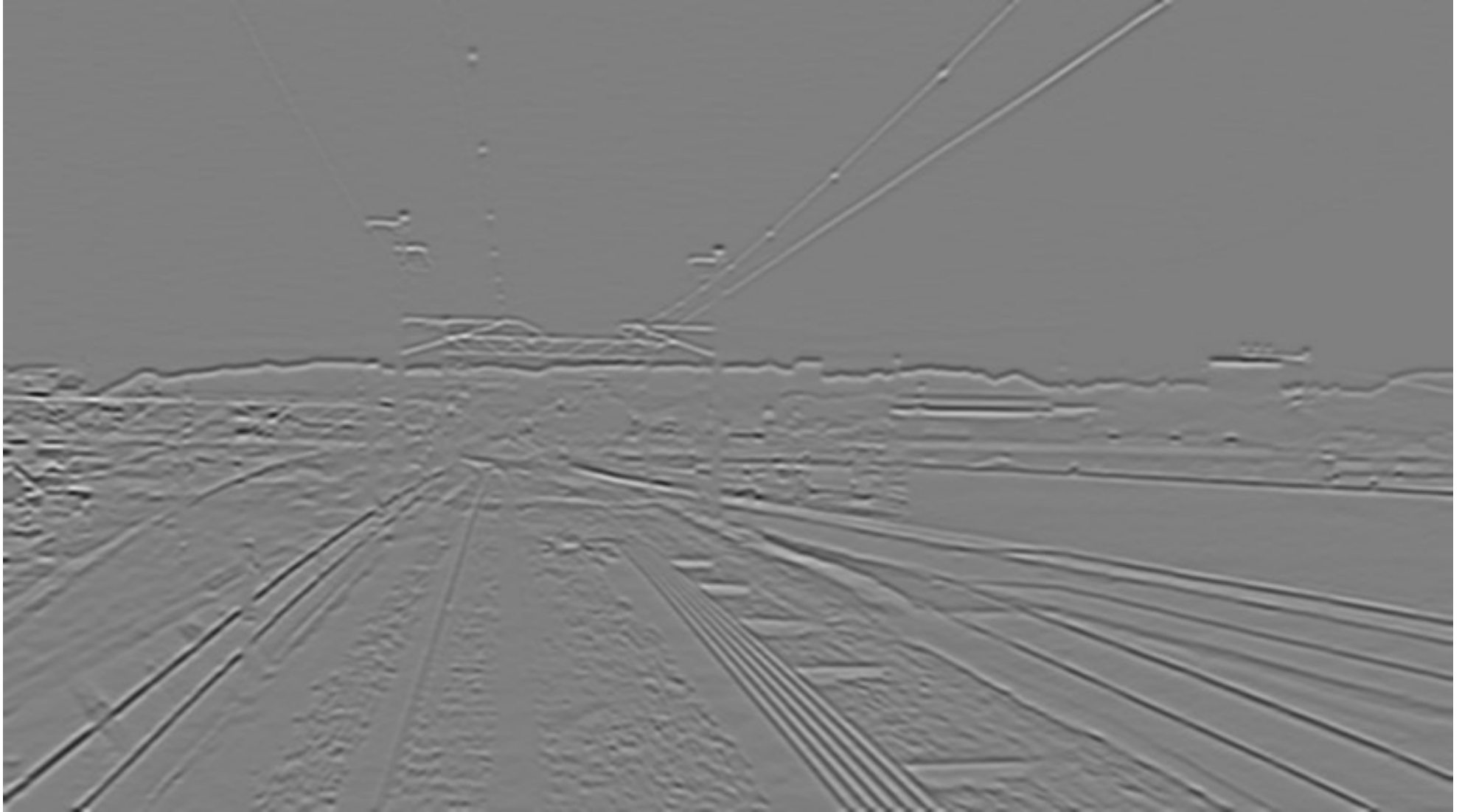


# Exemplo: Dxx

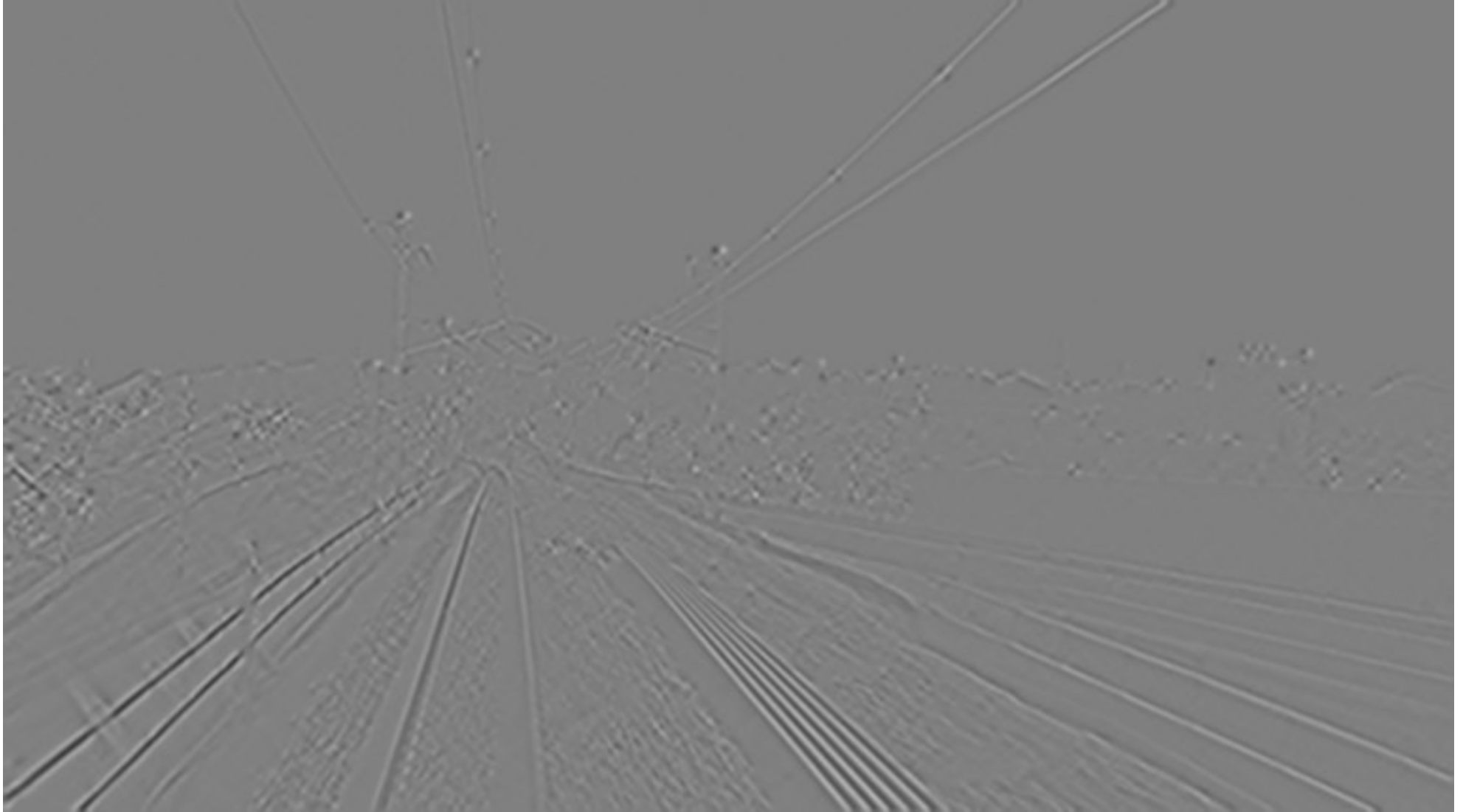




# Exemplo: Dyy



# Exemplo: Dxy



# Matriz de autocorrelação

- O próximo passo do algoritmo de Harris é computar uma matriz de autocorrelação, definida por:

$$A(x, y) = \begin{vmatrix} S_{xx} & S_{xy} \\ S_{xy} & S_{yy} \end{vmatrix} = \sum w \begin{vmatrix} D_{xx} & D_{xy} \\ D_{xy} & D_{yy} \end{vmatrix}$$

- Aqui,  $w$  é uma função de pesagem.
  - A versão original da auto-similaridade teria  $w=1$  para todas as posições em uma janela quadrada.
  - Para reduzir a sensibilidade a ruído,  $w$  é normalmente uma função Gaussiana centrada em  $(x,y)$ .
    - Em termos de implementação: basta aplicar um filtro Gaussiano sobre as imagens  $D_{xx}$ ,  $D_{xy}$  e  $D_{yy}$ ; e tomar os valores na posição  $(x,y)$  dessas imagens filtradas.
    - O kernel usado normalmente é pequeno – por exemplo, a implementação do OpenCV usa por padrão um kernel de largura 3.

# Análise dos autovalores

- Calculamos o determinante e o traço da matriz de autocorrelação:

$$\text{Det}(A) = S_{xx} * S_{yy} - S_{xy}^2$$

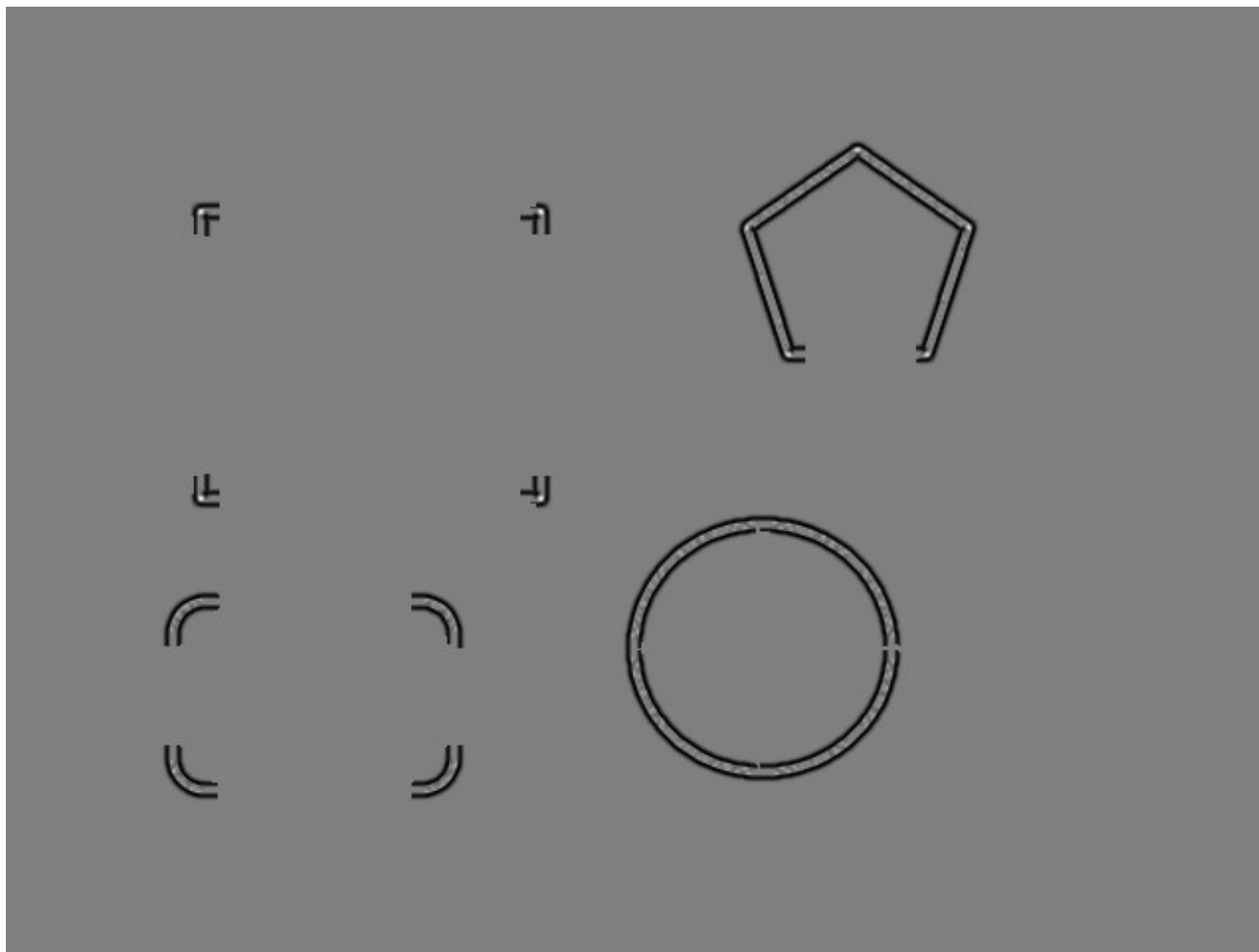
$$\text{Tr}(A) = S_{xx} + S_{yy}$$

- Neste passo, existem várias alternativas.

- Algoritmo original de Harris: é cando se  $\text{Det}(A) - \alpha \text{Tr}(A)^2 > \text{um limiar}$ .
- Alternativa de Shi e Tomasi: é cando se o menor autovalor da matriz for maior que um limiar. O menor autovalor  $\lambda$  pode ser calculado assim:

$$\lambda = \text{Tr}(A)/2 - \sqrt{\text{Tr}(A)^2/4 - \text{Det}(A)}$$

# Exemplo: menores autovalores



# Exemplo: menores autovalores



# Um pequeno “truque”...

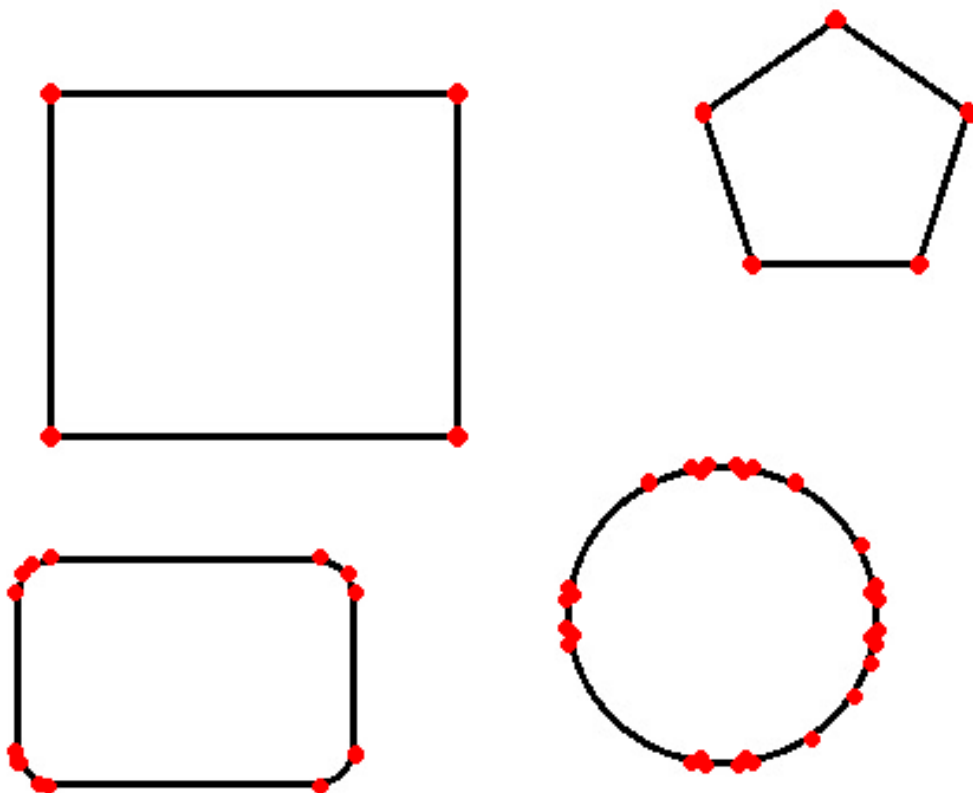
- A seleção de limiares para os autovalores tem uns problemas:
  - O limiar é um número absoluto, não relativo à própria imagem.
  - O limiar “ideal” pode variar de acordo com as características da imagem.
- Uma forma de facilitar a seleção de limiares é descrevê-los em função dos próprios resultados.
  - Seja  $I\lambda$  a imagem contendo os menores autovalores calculados para cada posição.
  - Seja  $\lambda_m$  o maior valor em  $I\lambda$  (o “maior entre os menores autovalores”).
  - Definimos que  $(x,y)$  é um canto se  $I\lambda(x,y) > t \cdot \lambda_m$ , onde  $t$  é um limiar.
    - Ou seja, o limiar agora é dado em função dos autovalores calculados.
    - = Estamos detectando “os melhores cantos” de uma imagem dada.



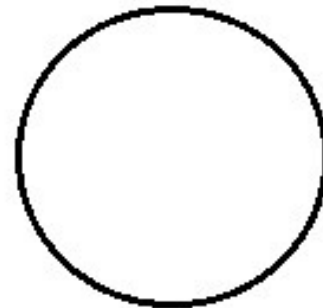
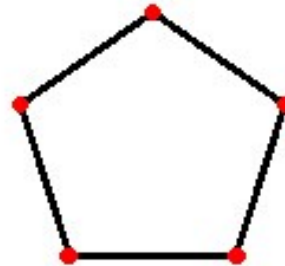
# Vejamos alguns exemplos...

- Vejamos exemplos de cantos detectados em imagens e vídeos.
- O OpenCV inclui uma implementação otimizada do algoritmo, em uma função com o sugestivo nome de **goodFeaturesToTrack**.
  - *Good Features to Track* também é o título do artigo de Shi & Tomasi que descreve o algoritmo KLT (mais sobre ele em breve)...
- O OpenCV também tem uma função **cornerSubPix**, que estima a posição dos cantos detectados com precisão subpixel.
  - Consulte a documentação se precisar.

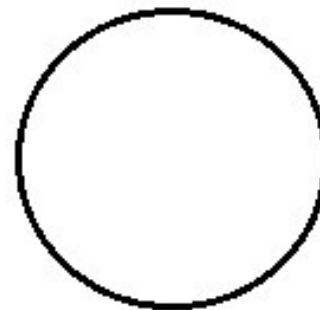
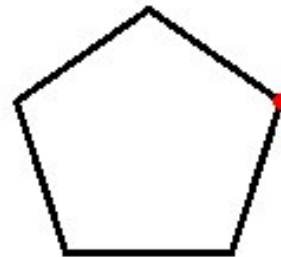
# Exemplo ( $t = 0.25$ )



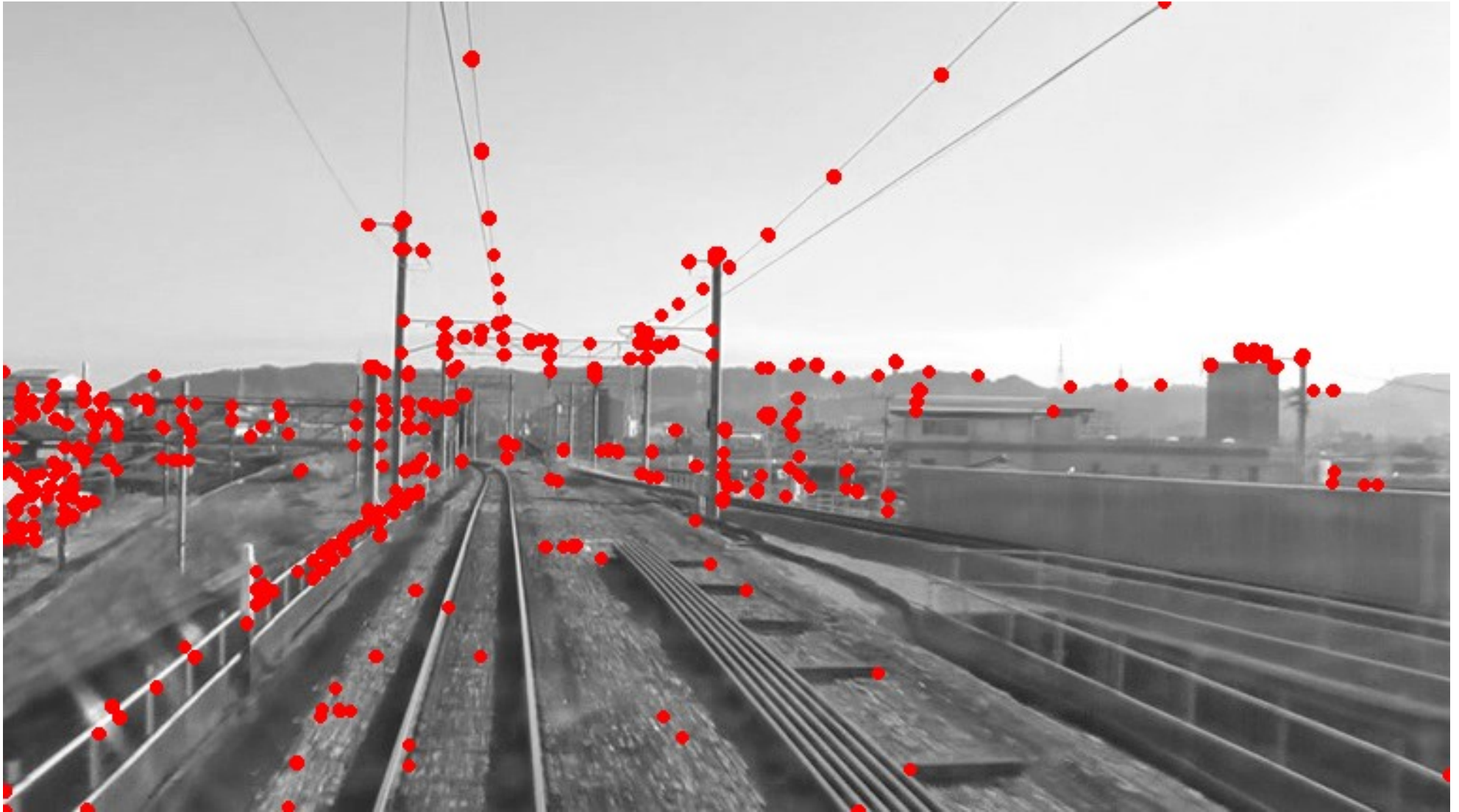
# Exemplo ( $t = 0.5$ )



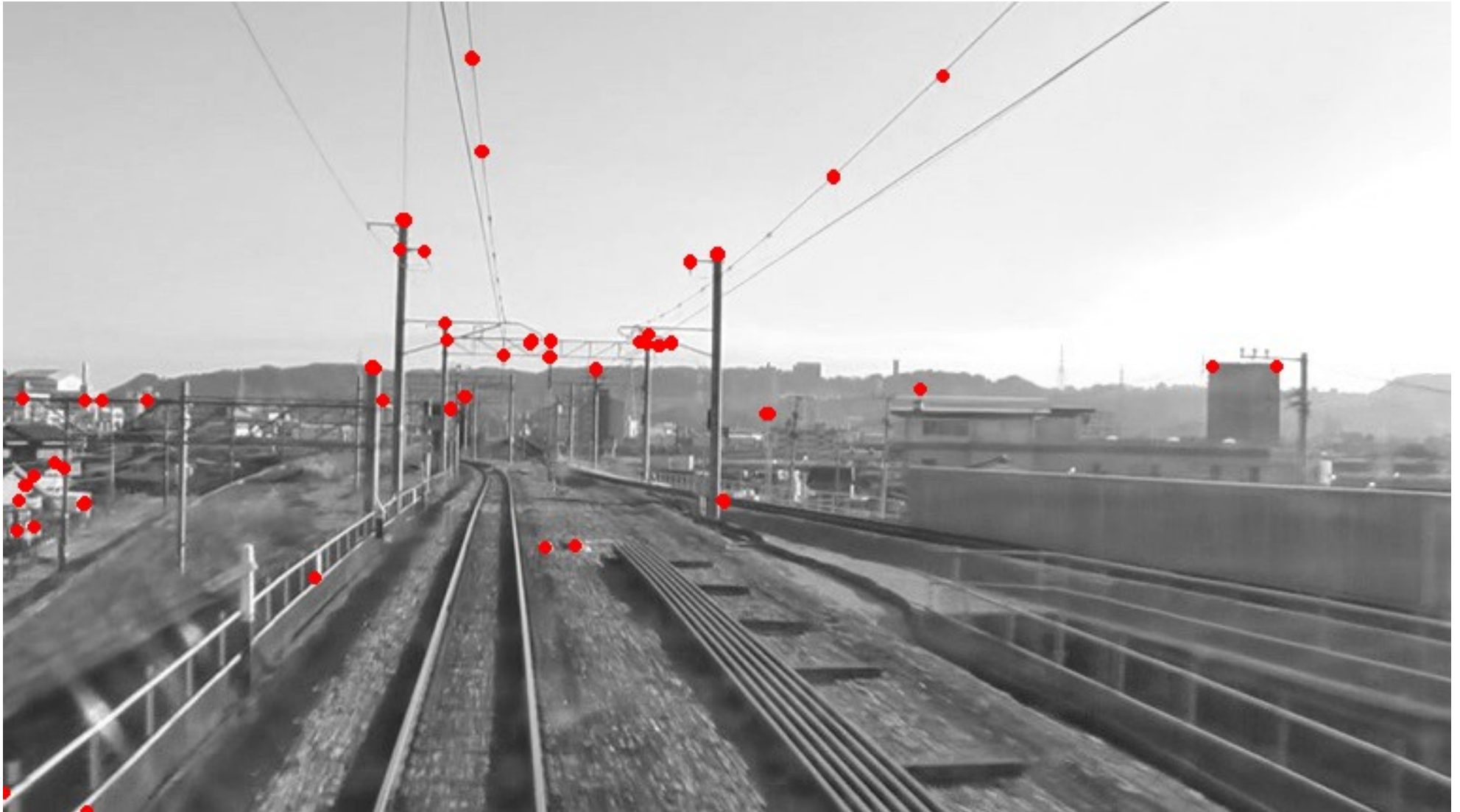
# Exemplo ( $t = 0.75$ )



# Exemplo ( $t = 0.25$ )



# Exemplo ( $t = 0.5$ )





# Exemplo ( $t = 0.75$ )





# Voltando ao fluxo ótico

- Nossa primeira tentativa de usar os cantos detectados para computar o fluxo ótico é bem simples:
  - Detecta cantos em todos os frames.
  - Para cada canto  $c0$  detectado no frame  $f$ :
    - Pega uma vizinhança ao redor de  $c0$ .
  - Para cada canto  $c1$  detectado no frame  $f+1$ :
    - Se a distância euclidiana entre  $c0$  e  $c1$  estiver dentro de certos limites (i.e. se  $c0$  e  $c1$  não estiverem muito distantes):
      - Pega uma pequena vizinhança ao redor de  $c1$ .
      - Calcula uma pontuação para o casamento entre  $c0$  e  $c1$ .
  - A posição atual de  $c0$  é o  $c1$  que produzir o melhor casamento.
- Este algoritmo depende que o detector de cantos seja *estável*.

# Voltando ao fluxo ótico

- Nossa primeira tentativa de usar os cantos detectados para computar o fluxo ótico é bem simples:
  - Detecta cantos em todos os frames.
  - Para cada canto  $c0$  detectado no frame  $f$ :
    - Pega uma vizinhança ao redor de  $c0$ .
  - Para cada canto  $c1$  detectado no frame  $f+1$ :
    - Se a distância euclidiana entre  $c0$  e  $c1$  estiver dentro de certos limites (i.e. se  $c0$  e  $c1$  não estiverem muito distantes):
      - Pega uma pequena vizinhança ao redor de  $c1$ .
      - Calcula uma pontuação para o casamento entre  $c0$  e  $c1$ .
  - A posição atual de  $c0$  é o  $c1$  que produzir o melhor casamento.
- Este algoritmo depende que o detector de cantos seja *estável*.
  - Um canto do mundo real detectado no frame  $f$  deve ser também detectado no frame  $f+1$ .
  - Esta é uma propriedade importante para detectores de *features*.

# Vejam os alguns exemplos...

- Vejam os alguns exemplos...
  - (Os parâmetros foram escolhidos de acordo com o tipo de vídeo).



# O algoritmo de Lucas-Kanade

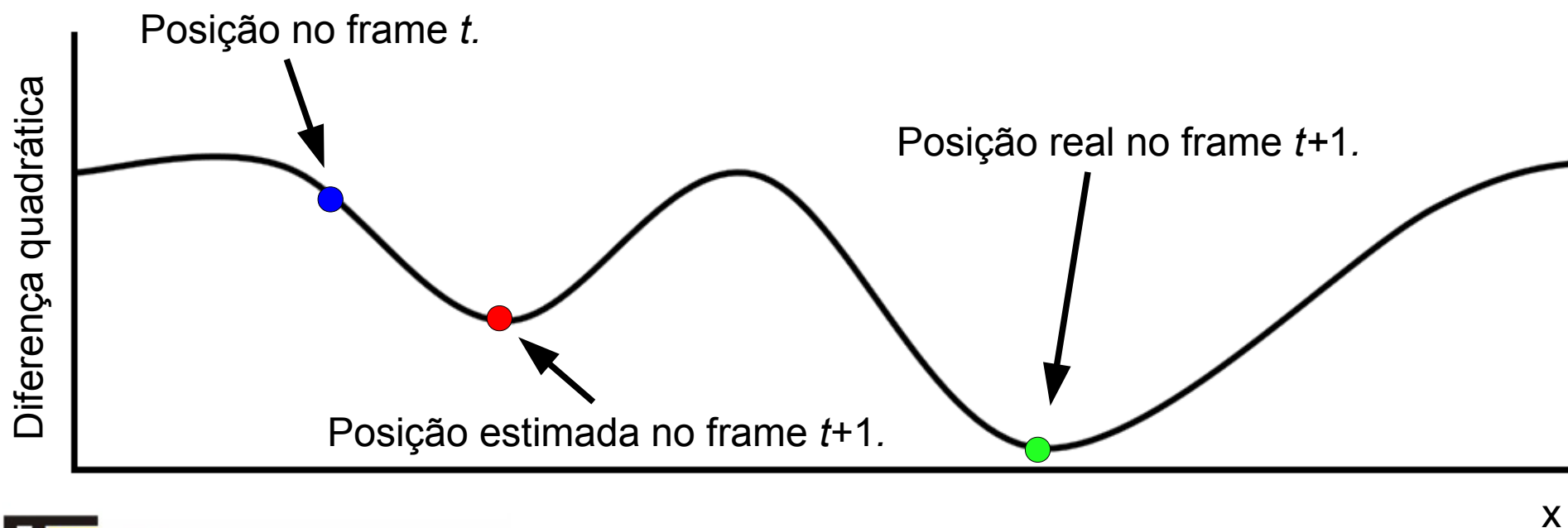
- O algoritmo de Lucas-Kanade (LK) serve para computar o fluxo ótico.
  - Novamente, pressupondo constância de brilho e coerência espacial.
- Conceito:
  - É dado um conjunto de pontos no frame  $t$ .
  - Considera-se uma janela ao redor de cada ponto.
    - (A janela padrão na implementação do OpenCV tem largura 21).
  - Para cada janela, busca-se no frame  $t+1$  uma posição que minimiza uma medida de similaridade (usa-se a diferença quadrática).
    - Podemos começar supondo a mesma posição nos dois frames, e ir “descendo” progressivamente até o “vale” mais profundo.
      - = o algoritmo é iterativo (é baseado no *método de Newton*).
    - A posição contendo o erro mínimo é estimada com precisão subpixel.
- Note que, diferente do nosso algoritmo simples, o LK não detecta pontos no frame  $t+1$ !

# O algoritmo de Lucas-Kanade

- O LK não computa explicitamente a diferença entre “patches”.
  - Da mesma forma que no detector de Harris, esta diferença é manipulada algebricamente, produzindo um sistema cujos componentes são dados por derivadas – mas aqui, também teremos a derivada no tempo (que é a diferença entre os valores dos pixels nos frames  $t$  e  $t+1$ ).
  - De fato, a matriz de correlação baseada nas derivadas de 2ª ordem é usada aqui também - o LK é como uma evolução do detector de Harris.
- Para mais detalhes, consulte a literatura.

# Mínimos locais

- Uma característica importante do algoritmo de Lucas-Kanade é que ele faz uma “descida” iterativa.
  - A cada iteração, a estimativa da posição do pixel no frame  $t+1$  é obtida observando uma vizinhança da posição estimada na iteração anterior.
  - Isso quer dizer que, se o deslocamento for maior do que a janela observada, o algoritmo pode ficar preso em um mínimo local!



# Pirâmides de imagens

- Para resolver o problema dos mínimos locais, não basta aumentar a largura da janela...
  - Por que?



# Pirâmides de imagens

- Para resolver o problema dos mínimos locais, não basta aumentar a largura da janela...
  - Uma janela larga demais pode tornar as regiões muito diferentes entre os frames.
- A solução adotada é o uso de pirâmides de imagens:
  - Começamos fazendo a busca em versões reduzidas da imagem.
  - A posição do casamento em um nível da pirâmide (menor) é usada como estimativa inicial para o casamento no próximo nível (maior).
  - Cada nível da pirâmide é uma *oitava*.
    - O número de oitavas normalmente não é muito grande – por exemplo, a implementação do OpenCV usa como padrão 4 oitavas.



# Construindo uma pirâmide Gaussiana

- A oitava 0 é a própria imagem de entrada.
- Para gerar a imagem na oitava  $i$ :
  - Aplica-se uma suavização Gaussiana sobre a imagem da oitava  $i-1$ .
    - Normalmente com um kernel pequeno (largura 3 ou 5).
  - A imagem filtrada é sub-amostrada – pegamos apenas os pixels nas linhas e colunas pares.
    - Repare que isso é um tipo de interpolação.
- A imagem na oitava  $i$  terá a metade da altura e da largura da imagem na oitava  $i-1$ .
  - Se a pirâmide tem  $N$  oitavas, a imagem original deve ter largura e altura divisíveis por  $2^{n-1}$ .

# Exemplo

- Vejam como se comporta o LK piramidal...
- O OpenCV tem uma implementação do algoritmo LK piramidal.
  - Ele exige que se forneça os pontos cujo fluxo ótico será calculado – para isso, podemos usar novamente a função **goodFeaturesToTrack**.

# O rastreador KLT

- O algoritmo de Lucas-Kanade serviu como base para diversos trabalhos envolvendo fluxo ótico.
- O rastreador KLT (Kanade-Lucas-Tomasi) é uma evolução do LK piramidal que inclui o conceito de rastreamento.
  - Detectar novos pontos a cada frame e buscá-los no frame seguinte não permite conhecer a trajetória dos pixels na sequência completa.
  - Se rastreamos cada ponto com base somente na aparência da sua vizinhança no frame anterior, a trajetória pode se desviar progressivamente do pixel original (“*drifting*”).
  - O KLT compara a região ao redor de um ponto com a primeira aparição daquele ponto, considerando um modelo de distorção afim.
    - Em comparação, o LK considera apenas translações.
  - O KLT também pode usar uma estimativa da posição do ponto, que pode ser obtida projetando a sua trajetória passada.

# Finalizando

- Cantos são *features* locais (baseadas em vizinhanças do pixel).
  - O detector de Harris detecta as *features*, mas não as descreve.
  - O nosso algoritmo simples descreve as *features* simplesmente como um “patch” ao redor do ponto central.
  - O LK e o KLT não criam descritores para as *features* explicitamente.
- Note que os algoritmos que vimos são invariantes a translações, e robustos a variações pequenas de posição dentro de um “patch”, mas não contemplam transformações de perspectiva, rotação e escala.
  - O KLT tem alguma robustez a variações de escala e rotação, incluídas no modelo de distorção afim, mas ainda trabalha com translações entre frames consecutivos.

# Finalizando

- Detecção e rastreamento de cantos estão entre os problemas mais fundamentais em visão computacional.
  - É uma instância de um problema mais geral, que é a detecção de “pontos de interesse” ou “pontos chave”.
    - Cantos são pontos de interesse, mas nem todo ponto de interesse é um canto.
- Um bom detector de pontos de interesse deve ser estável.
- Detecção/rastreamento de cantos é útil para várias aplicações.
  - Ex: visão estéreo.
    - Na busca por correspondências entre duas imagens da mesma cena.